

Impact Factor:

ISRA (India) = 6.317
 ISI (Dubai, UAE) = 1.582
 GIF (Australia) = 0.564
 JIF = 1.500

SIS (USA) = 0.912
 ПИИИ (Russia) = 3.939
 ESJI (KZ) = 8.771
 SJIF (Morocco) = 7.184

ICV (Poland) = 6.630
 PIF (India) = 1.940
 IBI (India) = 4.260
 OAJI (USA) = 0.350

SOI: [1.1/TAS](#) DOI: [10.15863/TAS](#)

International Scientific Journal
Theoretical & Applied Science

p-ISSN: 2308-4944 (print) e-ISSN: 2409-0085 (online)

Year: 2022 Issue: 09 Volume: 113

Published: 22.09.2022 <http://T-Science.org>

Issue

Article



Anvarbek Shuxratovich Ruzimov

Institute of Chemistry and Technology
 Senior Lecturer of Advanced Mathematics,
 Tashkent, Uzbekistan
a.sh.ruzimov@mail.ru

DYNAMIC STRESS-STRAIN STATE OF TWO-LAYER VISCOELASTIC CYLINDERS UNDER KINEMATIC EXCITATION

Abstract: The paper considers the dynamic stress-strain state of two-layer viscoelastic cylinders under kinematic excitation. The relationship between stresses and strains satisfy the Boltzmann-Voltaire integral relation. The problem is reduced to a plane problem of the theory of viscoelasticity. The problem is solved by the Green-Lamb potential methods. The resulting integro-differential equations of partial derivatives are solved using the special Bessel and Hankel functions of the 1st and 2nd kind of the n th order. The solution is expressed in terms of special functions of the complex argument. To determine the integral constants, a system of algebraic equations with complex coefficients is obtained. Numerical solutions are obtained and an analysis is made.

Key words: shells, filler, viscoelastic material, dynamic load, stress-strain state.

Language: Russian

Citation: Ruzimov, A. Sh. (2022). Dynamic stress-strain state of two-layer viscoelastic cylinders under kinematic excitation. *ISJ Theoretical & Applied Science*, 09 (113), 121-124.

Soi: <http://s-o-i.org/1.1/TAS-09-113-22> **Doi:** <https://dx.doi.org/10.15863/TAS.2022.09.113.22>

Scopus ASCC: 2200.

ДИНАМИЧЕСКИ НАПРЯЖЕННО- ДЕФОРМИРОВАННЫЕ СОСТОЯНИЯ ДВУХСЛОЙНЫХ ВЯЗКОУПРУГИХ ЦИЛИНДРОВ ПРИ КИНЕМАТИЧЕСКОМ ВОЗБУЖДЕНИИ

Аннотация: В работе рассматриваются динамические напряженно-деформированные состояния двухслойных вязкоупругих цилиндров при кинематическом возбуждении. Связь между напряжениями и деформациями удовлетворяют интегральному соотношению Больцмана- Вольтера. Задача сводится к плоской задаче теории вязкой упругости. Поставленная задача решается методом потенциала Грин - Лэмба. Полученные интегро-дифференциальные уравнения в частных производных решаются с помощью специальных функции Бесселя и Ханкеля 1-го и 2-го рода n -го порядка. Решения выражаются через специальные функции комплексного аргумента. Для определения интегральных постоянных получена система алгебраических уравнений с комплексными коэффициентами. Получены численные решения и сделан анализ.

Ключевые слова: оболочка, наполнитель, вязкоупругий материал, динамическая нагрузка, напряженно-деформированное состояние.

Введение

Современные измерительные приборы и точное технологическое оборудование часто нуждаются в эффективной защите от вибраций [1,2]. Кроме того, в настоящее время существенно возросла необходимость в активной защите от вибраций научной аппаратуры на космических аппаратах, самолетах и других транспортных

средствах [3,4]. Методы защиты от вибраций электронной аппаратуры (ЭА), устанавливаемой на подвижных объектах, подразделяются на пассивные, обеспечивающие ветрозащиту РЭС без дополнительных источников энергии и активные, работающие только при дополнительном внешнем источнике энергии [5,6]. Активные ветрозащитные устройства имеют значительно большую

Impact Factor:

ISRA (India) = 6.317
 ISI (Dubai, UAE) = 1.582
 GIF (Australia) = 0.564
 JIF = 1.500

SIS (USA) = 0.912
 ПИИЦ (Russia) = 3.939
 ESJI (KZ) = 8.771
 SJIF (Morocco) = 7.184

ICV (Poland) = 6.630
 PIF (India) = 1.940
 IBI (India) = 4.260
 OAJI (USA) = 0.350

стоимость, массу, размеры и сравнительно низкую надежность. Поэтому для защиты ЭА от вибраций наиболее часто применяются пассивные методы ветрозащиты.

Целью работы является создание методики и алгоритма для проведения вычислительных экспериментов, позволяющих на ранних стадиях проектирования моделировать, обеспечить оптимальные колебания объекта (прибора) в резонансных областях спектров частот при внешних технологических и эксплуатационных воздействиях. Теоретические исследования проводились с использованием пакетов программ MAPLE – 18. Актуальность исследования, напряженного –деформированного состояния конструкций, находящихся под действием динамических нагрузок с учетом вязкоупругих свойств материала, обусловлена широким применением их в современном машиностроении [7-9]. Характерным примером таких конструкций является вязкоупругий цилиндр с центральным расположенным каналом (цилиндрическими или с нетривиальной геометрией). Корпус изготавливается из материалов, имеющих высокую удельную прочность. В зависимости от назначения ракеты, ее размеров и действующих нагрузок применяются композитные материалы.

Расчету напряженно-деформированного состояния, упругой устойчивости и динамических процессов тонкостенных оболочек и содержащегося в них упругого и вязкоупругого заполнителя посвящены работы [10-12]. Применяются аналитические и численные методы интегрирования уравнений колебаний системы. При этом из большого разнообразия форм внешнего цилиндра (оболочек), заполнителя, их механических свойств, действующих нагрузок, и т.д. выбираются параметры, характерные для твердотопливных двигателей. В данной статье рассматриваются вопросы расчета вязкоупругих оболочек, содержащих вязкоупругие массивы (заполнитель). Особый интерес представляет колебания в плоскости $r\varphi$, не зависящие от продольной координаты z , которые называются плоскими изгибными колебаниями.

Постановка задачи и методы решения.

Рассматривается динамически напряженно-деформированное состояние вязкоупругого цилиндрического тела, с приложенным внешним кинематическим воздействием. Предполагается, что дано в цилиндрических координатах (r, φ, z) цилиндрическое тело с радиусом $r=a$ и b (соответственно внутренний и внешний радиус). Связь между напряжениями и деформацией удовлетворяет следующей интегральной зависимости [8]:

$$\sigma_{ij} = \tilde{\lambda} \theta \delta_{ij} + 2\tilde{\mu} \hat{\varepsilon}_{ij},$$

$$\tilde{\lambda} f(t) = \lambda_0 \left[f(t) - \int_0^t R_\lambda(t-\tau) f(\tau) d\tau \right],$$

$$\tilde{\mu} f(t) = \mu_0 \left[f(t) - \int_0^t R_\mu(t-\tau) f(\tau) d\tau \right].$$

Здесь $\hat{\varepsilon}_{ij}$ - компоненты тензора деформации; θ - объёмная деформация; $\tilde{\lambda}$ и $\tilde{\mu}$ - операторный модуль упругости; δ_{ij} - символ Кронекера; $f(t)$ – произвольная функция времени; $R_{Ek}(t-\tau)$ – релаксация ядра, λ_0 и μ_0 - мгновенные модули упругости. Уравнение малых колебаний цилиндра в случае плоского деформируемого состояния (радиальную u_r и тангенциальную u_φ компоненты считаем не зависящими от осевой координаты z) имеет следующий вид [9]:

$$\tilde{\mu} \nabla^2 u_r + \tilde{\mu} / (1-2\nu) \frac{\partial \theta}{\partial r} - \tilde{\mu} \frac{u_r}{r^2} + \tilde{\mu} \frac{2}{r^2} \frac{\partial u_\varphi}{\partial \varphi} - \rho \frac{\partial^2 u_r}{\partial t^2} = 0,$$

$$\tilde{\mu} \nabla^2 u_\varphi + \tilde{\mu} / (1-2\nu) \frac{\partial \theta}{\partial \varphi} - \tilde{\mu} \frac{u_\varphi}{r^2} + \tilde{\mu} \frac{2}{r^2} \frac{\partial u_r}{\partial \varphi} - \rho \frac{\partial^2 u_\varphi}{\partial t^2} = 0.$$

Здесь

$$\nabla^2 = \frac{1}{r} \frac{\partial}{\partial r} \left(r \frac{\partial}{\partial r} \right) + \frac{1}{r^2} \frac{\partial^2}{\partial \varphi^2},$$

$$\theta = \frac{1}{r} \frac{\partial}{\partial r} (r u_r) + \frac{1}{r} \frac{\partial u_\varphi}{\partial \varphi}.$$

На границе $r=b$ задана внешняя гармоническая кинематическая нагрузка в виде

$$u_r(b, \varphi, t) = U_R \cos(\varphi) e^{i\nu\omega t}$$

$$u_\varphi(b, \varphi, t) = -U_R \sin(\varphi) e^{i\nu\omega t},$$

где U_R - амплитуда перемещений внешней поверхности цилиндра, $\nu\omega$ - частота внешних нагрузок. На внутренней поверхности $r=a$ ставятся условия свободные от усилий

$$\sigma_{rr} = \sigma_{r\varphi} = 0$$

Интегродифференциальное уравнение (2) решается в потенциальных перемещениях ϕ (потенциал продольных волн) и ψ (потенциал поперечных волн), который удовлетворяет следующим интегродифференциальным уравнениям в частных производных

$$\nabla^2 \phi - \int_{-\infty}^t R_E(t-\tau) \nabla^2 \phi d\tau = \frac{1}{C_{p0}^2} \frac{\partial^2 \phi}{\partial t^2},$$

$$\nabla^2 \bar{\psi} - \int_{-\infty}^t R_\mu(t-\tau) \nabla^2 \bar{\psi} d\tau = \frac{1}{C_{s0}^2} \frac{\partial^2 \bar{\psi}}{\partial t^2},$$

где $\bar{\psi}_j(0,0,\psi)$ - векторная величина. Тогда связь между перемещениями цилиндра и потенциалами перемещений принимает следующий вид [10]:

Impact Factor:

ISRA (India) = 6.317
 ISI (Dubai, UAE) = 1.582
 GIF (Australia) = 0.564
 JIF = 1.500

SIS (USA) = 0.912
 ПИИЦ (Russia) = 3.939
 ESJI (KZ) = 8.771
 SJIF (Morocco) = 7.184

ICV (Poland) = 6.630
 PIF (India) = 1.940
 IBI (India) = 4.260
 OAJI (USA) = 0.350

$$u_r = \frac{\partial \phi}{\partial r} + \frac{1}{r} \frac{\partial \psi}{\partial \varphi}, u_\varphi = -\frac{\partial \psi}{\partial r} + \frac{1}{r} \frac{\partial \phi}{\partial \varphi}.$$

Решение уравнение (5) ищется в виде

$$u_r(r, \varphi, t) = U_R(r) \cos(\varphi) e^{iv\omega t}, \quad (6)$$

$$u_\varphi(r, \varphi, t) = U_\varphi(r) \sin(\varphi) e^{iv\omega t},$$

где $U_R(r)$ и $U_\varphi(r)$ - амплитуды перемещений, которые удовлетворяют уравнению Гельмгольца комплексного коэффициента

$$\nabla^2 U_R(r) + \alpha_1^2 U_R(r) = 0,$$

$$\nabla^2 U_\varphi(r) + \beta_1^2 U_\varphi(r) = 0 \quad (7)$$

Здесь

$$\alpha_1^2 = \frac{v_\omega^2}{C_{p0}^2(1-\Gamma_{\lambda 01})},$$

$$u_r = \sum_{k=1}^4 A_k U_k(r) \cos(n\varphi) e^{iv\omega t} =$$

$$= \left\{ \gamma_1 [A_1 J'_n(\gamma_1 r) + A_2 Y'_n(\gamma_1 r)] + \frac{n}{r} [A_3 J_n(\gamma_2 r) + A_4 Y_n(\gamma_2 r)] \right\}^*$$

$$* \cos(n\varphi) e^{iv\omega t},$$

$$u_\varphi = \sum_{k=1}^4 A_k V_n(r) \sin(n\varphi) e^{iv\omega t} =$$

$$= -\frac{n}{r} \left\{ \gamma_1 [A_1 J_n(\gamma_1 r) + A_2 Y_n(\gamma_1 r)] + \frac{n\gamma_2}{r} [A_3 J'_n(\gamma_2 r) + A_4 Y'_n(\gamma_2 r)] \right\}^*$$

$$* \sin(n\varphi) e^{iv\omega t},$$

где $A_k (k=1, 2, 3, 4)$ - произвольные постоянные, которые определяются из граничных условий (3) и (4). Тогда получим систему неоднородных алгебраических уравнений с комплексными коэффициентами в виде

$$\sum_{k=1}^4 A_k c_{kj} = P \quad (j=1, 2, 3, 4), P = \{0, 0, p_1, p_2\}^T, \quad (9)$$

где

$$c_{11} = Z_1(\gamma_1 a); c_{12} = Z_1(\gamma_1 a);$$

$$c_{13} = \frac{\gamma_2}{\gamma_1} Z_1(\gamma_1 a); c_{14} = Z_1(\gamma_1 a);$$

$$c_{21} = Z_2(\gamma_1 a); c_{22} = Z_2(\gamma_1 a);$$

$$c_{23} = \frac{\gamma_2}{\gamma_1} Z_1(\gamma_2 a); c_{24} = Z_2(\gamma_1 a / M); \quad (10)$$

$$c_{31} = J'_n(\gamma_1 b); c_{32} = Y'_n(\gamma_1 b);$$

$$c_{33} = \frac{n}{b} J_n(\gamma_2 r); c_{34} = \frac{n}{b} Y_n(\gamma_2 b);$$

$$c_{41} = \gamma_1 J_n(\gamma_1 b); c_{42} = \gamma_1 Y_n(\gamma_1 r);$$

$$c_{43} = \frac{n\gamma_2}{b} J'_n(\gamma_2 r); c_{44} = \frac{n\gamma_2}{b} Y'_n(\gamma_2 r),$$

$$\beta_1^2 = \frac{v_\omega^2}{C_{s0}^2(1-\Gamma_{\mu 01})}, \Gamma_{\mu 01} = 1 - a_{\mu c} - ia_{\mu s}, \Gamma_{\lambda 01} = 1 - a_{\lambda c} - ia_{\lambda s}$$

$$a_{\mu c}(\omega) = \int_0^\infty R_{\mu 1}(\tau) \sin \omega \tau d\tau,$$

$$b_{\mu s}(\omega) = \int_0^\infty R_{\mu s}(\tau) \cos \omega \tau d\tau,$$

$$a_{\lambda c}(\omega) = \int_0^\infty R_{\lambda 1}(\tau) \sin \omega \tau d\tau,$$

$$b_{\lambda s}(\omega) = \int_0^\infty R_{\lambda s}(\tau) \cos \omega \tau d\tau$$

Таким образом, совместные решения уравнений Гельмгольца (7) с учетом (4) и (6) выражаются через специальные функции Бесселя и Ханкеля [11]. Перемещение цилиндрического тела принимает следующий вид

где

$$Z_1(z) = n \left[\frac{1}{z} J_n(z) - J'_n(z) \right];$$

$$Z_2(z) = J'_n(z) + z J_n(z) \left[1 + \frac{1}{z^2} ((\lambda_0 / 2\mu_0)(\mu_{01} a))^2 - n^2 \right].$$

Система алгебраических уравнений (10) решается методом Гаусса с выделением главного элемента.

Численные результаты и их анализ.

Задача решается в безразмерных параметрах. Для расчета приняты следующие значения параметров $\rho = 1.72 \cdot 10^{-3} \text{ кг/см}^3$, $b = 0.900 \text{ м}$, $a = 0.150 \text{ м}$, $v = 0.25$, $U_R = 1$ Параметры ядра релаксации $(R(t) = Ae^{-\beta t} t^{\alpha-1})$ следующие $A = 0,048$; $\beta = 0,05$; $\alpha = 0,1$. Результаты расчетов приведены на рис.1.

Impact Factor:

ISRA (India) = 6.317
ISI (Dubai, UAE) = 1.582
GIF (Australia) = 0.564
JIF = 1.500

SIS (USA) = 0.912
РИИЦ (Russia) = 3.939
ESJI (KZ) = 8.771
SJIF (Morocco) = 7.184

ICV (Poland) = 6.630
PIF (India) = 1.940
IBI (India) = 4.260
OAJI (USA) = 0.350

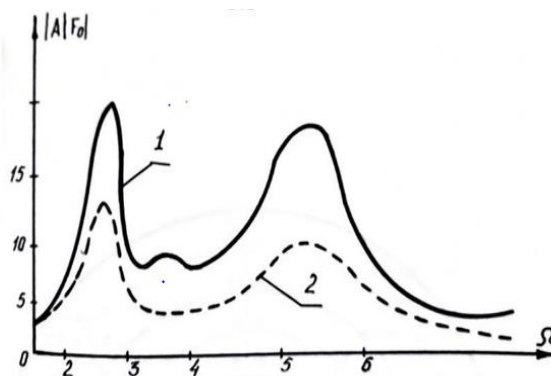


Рис. 1. Зависимости амплитуды перемещений от частоты.

На рисунке приведено изменение амплитуды перемещения в зависимости от частоты внешних нагрузок. На рисунке отмечено 1 – результаты изменения амплитуды без учёта вязкости материала, также на рисунке 2- приведено

изменение амплитуды с учетом вязкости материала. Видно, что учёт вязкости материала снижает амплитуды перемещений до 17%. Найдено, что для высоких частот радиальные смещения и компоненты напряжений малы.

References:

1. Borisov, V.F. (1996). *Konstruirovaniye radioelektronnykh sredstv.* (p.380). Moscow: Izd-vo MAI.
2. Tshaev, M.Kh., Safarov, I.I., & Mirsaidov, M. (2019). Oscillations of multilayer viscoelastic composite toroidal pipes. *Journal of the Serbian Society for Computational Mechanics*, Vol. 13, No. 2, 2019, pp.105-116. 10.24874/jsscm.2019.13.02.08
3. Yurkov, N. K. (2012). *Texnologiya radioelektronnykh sredstv.* (p.640). Penza: Izd-vo PenzGU.
4. Yurkov, N.K. (2004). Osobennosti upravleniya slojnymi sistemami na osnove konseptualnykh modeley. *Izmeritelnaya texnika*, № 4, pp. 14-16.
5. Kofanov, Yu.N., Malyutin, N.V., & Sarafanov, A. V. (2000). *Avtomatizatsiya proyektirovaniya i modelirovaniya pechatnykh uzlov radioelektronnoy apparatury.* (p.389). Moscow: Radio i svyaz.
6. Ilgamov, M.A., Ilgamov, M.A., Ivanov, V.A., & Gulin, B.A. (1977). *Prochnost, ustoychivost i dinamika obolochek s uprugim zapolnitelem.* (p.331). Moscow: Nauka.
7. Latifov, F.S. (1999). *Kolebaniya obolochek s uprugoy i jidkoy sredoy.* (p.164). Baku: «Elm».
8. Semenov, A.A. (2016). Model of deformation stiffened orthotropic shells under dynamic loading. *Journal of Siberian Federal University. Mathematics and Physics*, 9(4), pp.485-497.
9. Bosyakov, S.M., & Chjivey, V. (2011). Analiz svobodnykh kolebaniy silindricheskix obolochki iz stekloplastika pri granichnykh usloviyax Nave. *Mexanika mashin, mexanizmov i materialov*, №3, pp. 24-27.
10. Latifov, F.S., Seyfullaev, F.A., & Alyev, Sh. Sh. (2016). Free vibrations reinforced by transverse ribs of an anisotropic cylindrical shell made of fiberglass with a liquid flowing in it. *Applied mechanics and technical physics*, Vol. 57, No. 4, pp. 158-162.
11. Seyfullayev, A.I., & Novruzova, K. A. (2015). Oscillations of longitudinally reinforced orthotropic cylindrical shell filled with a viscous fluid. *Eastern-European Journal of Enterprise Technologies*, no. 3/7 (75), 29-33.
12. Mamedov, Dj.N. (2007). Svobodnye kolebaniya silindricheskix obolochek s zapolnitelem, usilennymi prodolnymi rebrami pri osevom shtatii s uchetom diskretnyx razmeshheniy reber. *Mexanika mashinostroyeniye*, № 4, pp.7-11.